

# ЧИСЛЕННОЕ ИССЛЕДОВАНИЕ ПАРАМЕТРИЧЕСКОЙ ЭВОЛЮЦИИ НЕСОРАЗМЕРНЫХ РАСПРЕДЕЛЕНИЙ ОДНОКОМПОНЕНТНОГО ПАРАМЕТРА ПОРЯДКА

*Березовский С.В.,  
Клепиков В.Ф.,  
Корда В.Ю.,  
Середа Ю.В.,  
Шляхов Н.А.*

*Научно-технический центр электрофизической обработки Национальной академии наук Украины, 310002 Харьков,  
ул. Чернышевского 28, а/я 8812, Украина*

В рамках  $\phi^4$ -модели полевой теории фазовых переходов, учитывающей градиенты высшего порядка, проведено численное ис-

следование распределений однокомпонентного параметра порядка в температурной области существования несоразмерной фазы.

В работах [1-4] в рамках модели, обобщающей теорию Ландау фазовых переходов, был развит аналитический подход, позволивший найти новые приближенные решения для пространственных распределений однокомпонентного параметра порядка в системах с конкурирующими взаимодействиями. Достоинством этого подхода является, в частности, то, что он предоставляет "рецепт" построения существенно нелинейных решений вариационного уравнения, выражаемых через известные специальные функции, а не в виде ряда Фурье, который для рассматриваемой задачи, вообще говоря, может быть бесконечным [5]. При этом развитый в [1-4] подход дает алгоритм последовательного поиска решений, все более приближающихся к точному.

Вместе с тем, вариационное уравнение для данной задачи является нелинейным дифференциальным уравнением, точное аналитическое решение которого в общем случае не известно. Это обстоятельство служит причиной использования численных методов решения вариационной задачи [6].

Данная работа посвящена численному изучению свойств равновесных распределений однокомпонентного параметра порядка (ПП) в несоразмерной фазе при изменении температуры. Такое исследование представляется необходимым для оценки точности приближенных аналитических решений, получаемых в рамках подхода [1-4], детального прояснения их физического смысла. Кроме того, получение в процессе численного решения данных о структуре термодинамического потенциала (ТП) в окрестности абсолютного минимума является важным предварительным этапом изучения релаксационных свойств рассматриваемой системы.

Несоразмерные состояния однокомпонентного ПП могут быть описаны с помощью следующего выражения для ТП системы [1-4]:

$$\Phi = \Phi_0 \cdot \int_0^L [(\phi'')^2 - g(\phi\phi')^2 - (\phi')^2 + q\phi^2 + \frac{p}{2}\phi^4] dx, \quad (1)$$

где  $\phi(x)$  – параметр порядка;  $\phi'(x) \equiv d\phi(x)/dx$ ;  $L$  – длина кристалла вдоль оси модуляции  $OX$ ;  $g, q, p$  – приведенные материальные параметры среды. Предполагаем, что фазовые переходы в системе обусловлены изменением температуры, при этом

$q = q_0(T - T_0)$ , где  $q_0, T_0$  – некоторые константы. Отметим, что все величины в (1) являются безразмерными.

Вариационным уравнением для функционала (1) является следующее нелинейное дифференциальное уравнение четвертого порядка:

$$\varphi^{(IV)} + g[\varphi^2 \varphi'' + \varphi(\varphi')^2] + \varphi'' + q\varphi + p\varphi^3 = 0. \quad (2)$$

При численном решении вариационных уравнений, описывающих несоразмерные структуры ПП, обычно используют либо метод конечных разностей (см., например, [7]), либо метод усеченного ряда Фурье, когда периодическое распределение ПП  $\varphi(x)$  представляется в виде гармонического ряда с конечным числом слагаемых, волновое число  $b$  и коэффициенты разложения которого изначально предполагаются неизвестными [8-9].

Практическое использование указанных методов показало, что, по-видимому, метод конечных разностей дает более надежные результаты, поскольку, например, для систем с двухкомпонентным ПП предсказывает, что переходы из несоразмерной фазы в соразмерную могут быть переходами как первого, так и второго рода [6,7]. В то же время метод ряда Фурье всегда предсказывает переходы второго рода [6,8], что противоречит экспериментальным данным [5].

В данной работе вариационная задача (1)-(2) поиска равновесных распределений ПП  $\varphi(x)$  решалась в три этапа. На первом этапе разностным методом Рунге-Кутта 4-го порядка [10] находилось решение уравнения (2), соответствующее некоторому набору начальных условий  $S_0 = \{\varphi(0), \varphi'(0), \varphi''(0), \varphi'''(0)\}$ . Далее для найденного решения вычислялось значение ТП (1). На заключительной стадии определялся абсолютный минимум потенциала (1) на совокупности условий  $S_0$ .

Исследование производилось для различных значений материальных параметров. При этом параметр  $p$  всегда полагался равным единице, что при изучении свойств несоразмерного состояния не является существенным ограничением общности [6,9,11]. Параметр  $g$  предполагался отрицательным [1-4,9]. При заданном значении параметра  $g$  эффективная температура  $q$  изменялась в пределах от  $q_1 = 1/4$  (точки, в которой неупорядоченная фаза  $\varphi \equiv 0$  теряет устойчивость и переходит в несоразмерное состояние) и до температур, при которых становится энергетически предпочтительной соразмерная фаза  $\varphi = \pm\varphi_0 = \text{const}(x)$  [4].

Для системы (1) распределение ПП в несоразмерной фазе не должно зависеть от выбора направления оси пространственной модуляции ПП ОХ и от выбора направления оси ОУ, вдоль которой происходит упорядочение. Кроме того, физически эквивалентными являются распределения, отличающиеся только значением фазы  $x_0$  (ТП инвариантен относительно сдвига фазы – свойство “скольжения” [6,12]). Мы также полагаем, что функция  $\varphi(x)$  является гладкой периодической функцией. Следствием отмеченных свойств является то, что всегда можно выбрать такую систему координат, в которой решения, описывающие распределение ПП в несоразмерной фазе, являются четными или нечетными функциями пространственной координаты и, кроме того, смещением на четверть периода четность этих решений изменяется на противоположную.

Такая “четно-нечетная” симметрия [13] позволяет занулить при численном решении задачи два из четырех начальных условий (т.е. рассматривать только наборы  $S_{01} = \{0.0, \varphi'(0), 0.0, \varphi''(0)\}$  или  $S_{02} = \{\varphi(0), 0.0, \varphi''(0), 0.0\}$ ). В то же время при исследовании периодических распределений в несоразмерной фазе использование наборов  $S_{01}$  и  $S_{02}$  должно приводить к физически эквивалентным состояниям. Однако пространственно-однородное распределение ПП в соразмерной фазе может быть получено только для набора  $S_{02}$ . Последнее обстоятельство делает использование  $S_{02}$  предпочтительным.

Таблица. Результаты численного исследования несоразмерной фазы,  $g = -10$ ,  $p = 1$ .

Эффектная температура $q$	Термодинамический потенциал, модель (3)	Термодинамический потенциал, модель (4)	Термодинамический потенциал, численный расчет	$\varphi^{(0)}$			$\varphi''(0)$		
				модель (3)	модель (4)	численный расчет	модель (3)	модель (4)	численный расчет
0.2	-1.952 E-4	-1.962 E-4	-2.010 E-4	0.126	0.126	0.126	0.060	0.059	-0.058
0	-5.240 E-3	-5.409 E-3	-5.401 E-3	0.297	0.298	0.299	0.116	0.097	-0.096
-0.2	-1.877 E-2	-2.086 E-2	-2.110 E-2	0.437	0.457	0.460	0.114	0.031	-0.021

тельным. Сразу отметим, что специально выполненные расчеты подтверждают с точностью до ошибки локализации по начальным условиям высказанное здесь утверждение о физической эквивалентности решений для четных  $S_{02}$  и нечетных  $S_{01}$  начальных условий.

Потенциал (1) и уравнение (2) обладают также симметрией относительно операции отражения  $\varphi \rightarrow -\varphi$ . Это означает, что если  $\varphi(x)$  является решением уравнения (2), то и  $\varphi_1(x) = -\varphi(x)$  также есть решение (2). Данное свойство позволяет еще вдвое сократить объем фазового пространства  $S_0$ , подлежащего рассмотрению при поиске физически различных распределений ПП.

Как показали расчеты, численная устойчивость решений, соответствующих минимуму ТП, меняется при понижении температуры, т.е. с увеличением амплитуды ПП. Модификации метода интегрирования уравнения (2) (повышение порядка, уменьшение шага) ситуацию не изменяют. Поэтому излагаемые ниже результаты носят отчасти предварительный характер.

В таблице представлены некоторые результаты, полученные при реализации описанной вычислительной процедуры. Приведены также значения ТП, рассчитанные в одногармоническом приближении [9]

$$\varphi(x) = a \cdot \sin[b(x + x_0)] \quad (3)$$

и для распределения

$$\varphi(x) = a \cdot \operatorname{sn}[b(x + x_0), k], \quad (4)$$

полученного в подходе [1-4] ( $\operatorname{sn}(x, k)$  – эллиптический синус Якоби).

Как следует из таблицы, модель (4) является хорошим приближением при описании равновесного распределения ПП в несоразмерной фазе, в том числе и в окрестности точки перехода в соразмерную фазу. В частности, равновесное значение  $\varphi''(0) \sim a \cdot b^2$ , предсказываемое моделью (4), гораздо ближе к численным значениям  $\varphi''(0)$ , чем величины  $\varphi''(0)$ , рассчитанные в приближении (3). Это различие носит принципиальный характер и обусловлено различием механизмов изменения волнового числа  $b$ , а, следовательно, и периода модуляции  $P \sim b^{-1}$  ПП, в подходе (3) [9] и в подходе [1-4]. В модели (3) увеличение периода модуляции  $P = 2\pi / b$  при понижении температуры описывается путем учета в ТП нелинейного инварианта  $(-g \cdot \varphi'^2 \varphi^2)$ ,  $g < 0$ , что делает волновое число  $b$  зависящим от температуры согласно соотношению

$$b^2 = \frac{1}{2} + \frac{1}{8} g \cdot a^2, \quad (5)$$

где  $a = a(T)$  – амплитуда ПП [9].

В подходе [1-4] изменение периода модуляции  $P = 4K(k) / b$  ( $K(k)$  – полный эллиптический интеграл первого рода) обусловлено нелинейными свойствами самого распределения (4) и может иметь место и в отсутствие инварианта  $\sim \phi'^2 \phi^2$  ( $g = 0$ ). Отмеченное свойство распределения (4) расширяет возможности модели (1) при описании пространственно-неоднородных состояний в системах различной природы, характеризующихся разной величиной взаимодействия типа  $\sim \phi'^2 \phi^2$ .

На рис. 1 показана зависимость ПП от координаты для трех значений эффективной температуры  $q$ : сплошная кривая –  $q = 0.2$ , штриховая –  $q = -0.0$ , пунктирная  $q = -0.2$  – ( $g = -10$ ). Рис. 1 наглядно демонстрирует основные черты параметрической эволюции распределения ПП в несоразмерной фазе при понижении температуры, а именно: рост амплитуды ПП, увеличение периода модуляции, повышение роли высших гармоник (структурообразование в решетку доменных стенок).

Характерной особенностью изученных численных распределений является то, что в большей части случаев их можно представить как суперпозицию двух колебаний с различными амплитудами и различными периодами (рис. 2,  $q = 0.0$ ,  $g = -10$ ,  $\phi(0) = 0.2215$ ,  $\phi''(0) = -0.1493$ ). С математической точки зрения такое поведение понятно. Действительно, характеристическое уравнение для линеаризованного варианта уравнения (2) является биквадратным. Поэтому в общем случае периодическое решение линеаризованного вариационного уравнения имеет вид суммы двух гармонических колебаний с разными волновыми числами  $b_1$ ,  $b_2$ :

$$\phi(x) = a_1 \cdot \cos[b_1(x + x_{01})] + a_2 \cdot \cos[b_2(x + x_{02})], \quad b_{1,2} = \frac{1}{2} \left[ 1 \pm \sqrt{1 - 4q} \right]. \quad (6)$$

Наличие двух “частот” отчетливо проявляется и вдали от точки  $q_I$ , в окрестности которой справедливо линейное приближение для уравнения (2).

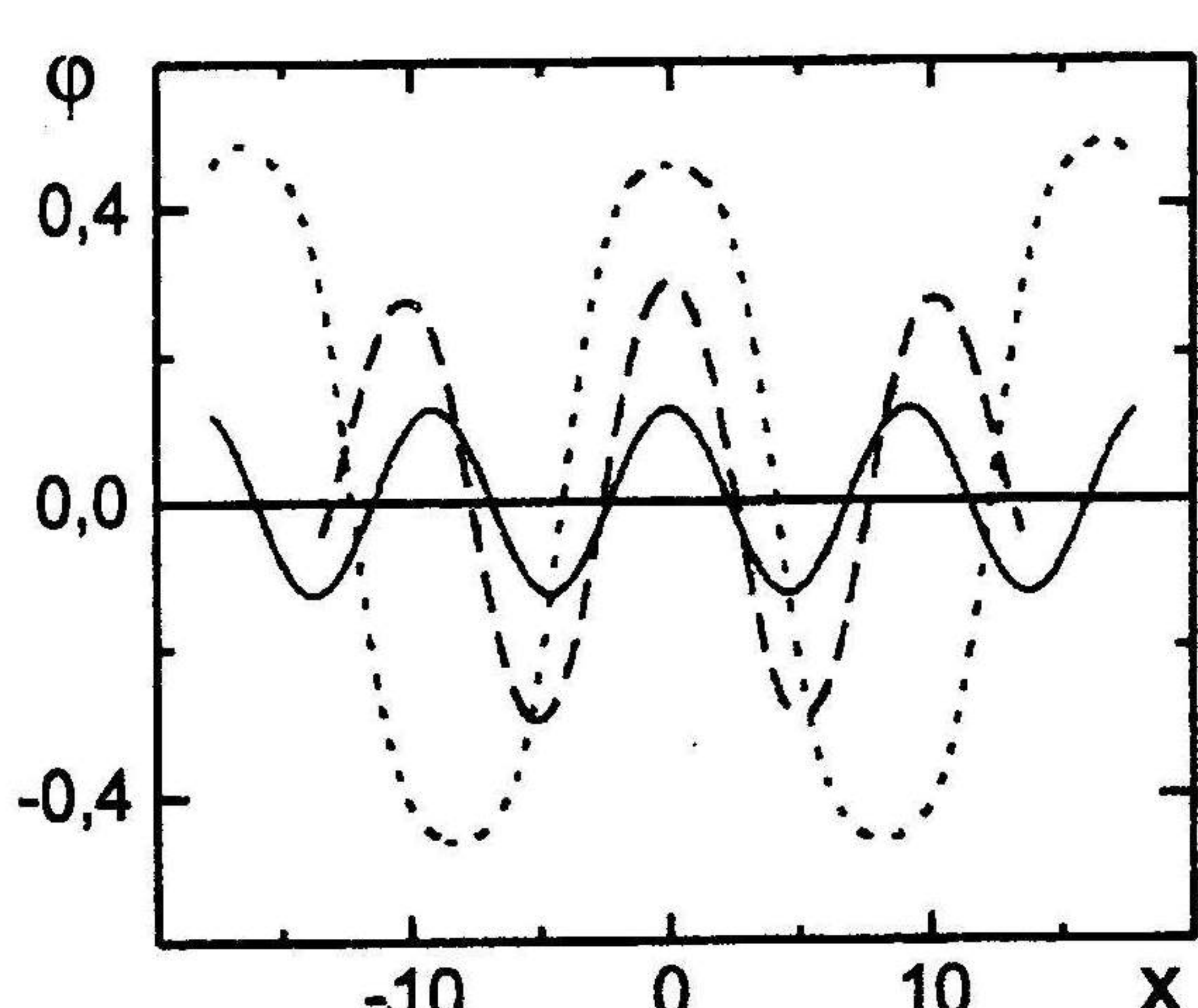


Рис. 1.

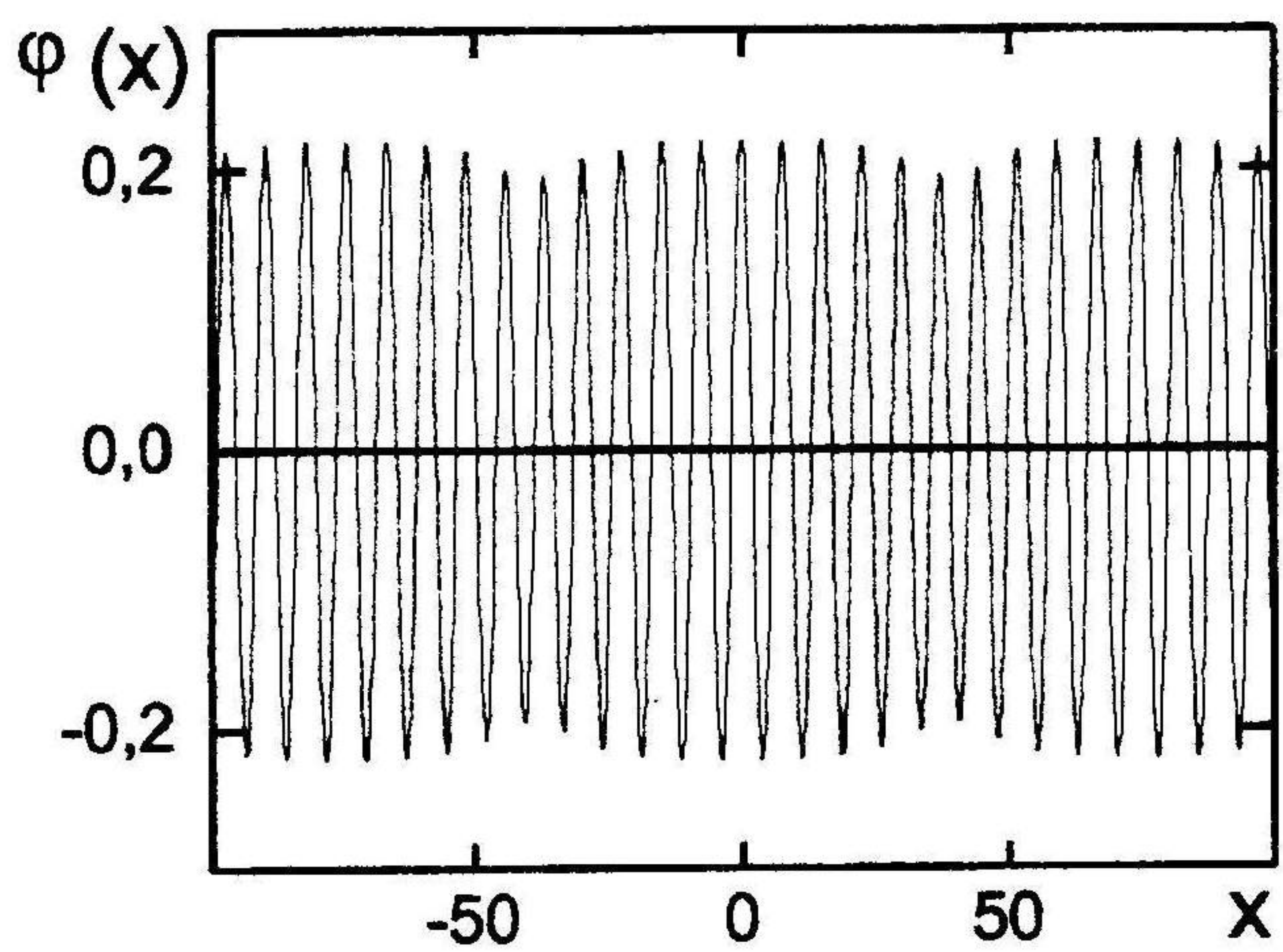


Рис. 2.

Вместе с тем, модельные равновесные распределения ПП (3) и (4) представляют собой одну нелинейную волну и могут характеризоваться одним волновым числом. Аналитические исследования и численные расчеты [14] показывают, что учет дополнительных волн с волновыми числами, не удовлетворяющими соотношению  $b_2 = (2n + 1) \cdot b_1$ ,  $n = 0, 1, 2, \dots$ , где  $b_1$  – волновое число исходной функции, приводит к увеличению величины ТП.

Таким образом, абсолютному минимуму ТП отвечает решение, имеющее вид одной нелинейной волны (а не суперпозиции двух или более колебаний). Однако, даже для идеально-го кристалла всегда есть факторы, из-за которых такое одночастотное распределение не реализуется и реально возникают структуры типа изображенных на рис. 2, имеющие боль-

шую энергию, чем равновесное распределение. Действительно, в экспериментальных условиях упорядоченное состояние системы достигается обычно в результате закалки системы из однофазного неупорядоченного состояния. При этом система, как правило, оказывается в некотором метастабильном состоянии с замедленными временами релаксации [11, 15, 16].

Как мы уже отмечали, ТП (1) инвариантен относительно сдвига фазы  $x_0$  распределения ПП  $\phi(x + x_0)$ . Такими же свойствами обладает и ПП в высокосимметричной фазе  $\phi(x) \equiv 0$ . При переходе из неупорядоченного состояния в несоразмерное состояние фаза  $x_0$  распределения ПП фиксируется:  $x_0 = x_{0F}$ . Поскольку изменение фазы не требует изменения энергии системы, то спонтанное нарушение непрерывной симметрии ведет к возникновению дополнительной ветви возбуждений – голдстоуновской моды диффузационного типа [12, 17]. Эти элементарные возбуждения (фазоны) представляют собой колебания фазы ПП  $x_0 = x_{0F} + \Delta x_0(t)$ ,  $t$  – время, и, как правило, передемптированы [5].

Рассмотренное выше дополнительное пространственное колебание (рис. 2), происходящее на фоне пространственно-периодических волн основного состояния, представляет собой статическое возмущение равновесного распределения ПП и имеет характер периодических структур нетопологических темных солитонов [18]. Отметим, что решения типа представленного на рис. 2 характеризуются большей численной устойчивостью, чем одноволновые решения вблизи минимума ТП.

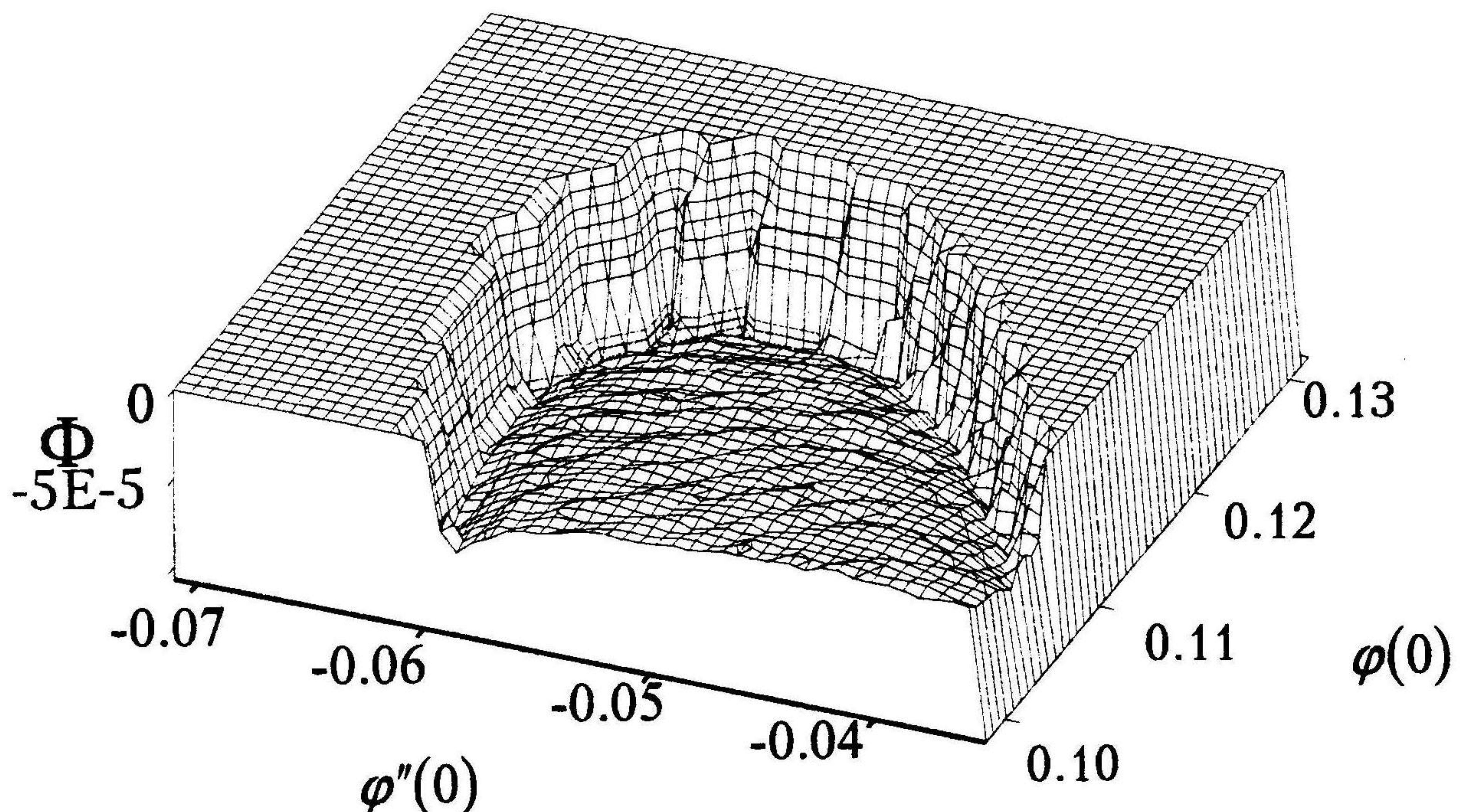


Рис. 3.

Характерная зависимость ТП от начальных условий показана на рисунке 3. На рис. 3 для решений с расходящимися амплитудами значение ТП полагалось равным нулю.

Как видно из рис. 3, в пространстве начальных условий поверхность значений функционала ТП не является единственной “ямкой”, а имеет линии как резких, так и плавных изменений величины потенциала. Исходя из этого можно предположить, что при выведении системы из положения равновесия она будет релаксировать к статическому состоянию в два этапа. На первом этапе, практически независимо от параметров исходного неравновесного состояния, система относительно быстро перейдет в некоторую (квази)потенциальную долину минимумов. На втором этапе идет относительно медленная релаксация вдоль линии плавного изменения. Такое поведение (эффект “быстрой реки”) является достаточно обыч-

ным для нелинейных релаксационных уравнений [19,20]. Заметим, что описание пространственно-неоднородных состояний с помощью модели (1) слабо зависит от микроскопических деталей рассматриваемой системы и носит единообразный характер для сред разной природы (сегнетоэлектрики, магнетики, бинарные сплавы и др.). Поэтому отмеченное релаксационное поведение может рассматриваться как одно из проявлений универсальности фазовых переходов [19,21,22]. Однако детальное рассмотрение данной проблемы требует использования подходов, явно учитывающих кинетические процессы, и выходит за рамки данной статьи.

Таким образом, численное исследование вариационной задачи (1)-(2) показало, что подход [1-4] количественно правильно описывает распределение параметра порядка в несогласованной фазе, в том числе и вблизи точки перехода в соразмерную фазу. Слабое возмущение равновесного распределения параметра порядка имеет вид периодических структур типа темных солитонов на фоне пространственно-периодических волн основного состояния. Релаксация к равновесному состоянию предположительно должна происходить в два этапа — “быстрый” и “медленный”.

Работа выполнена при частичной поддержке Государственного фонда фундаментальных исследований Украины (грант №2.4/691), а также Министерства Украины по делам науки и технологий (стипендия для молодых ученых 235/96).

## ЛИТЕРАТУРА

- [1] Klepikov V. F., Berezovsky S. V. // Condensed matter physics **8**, 69 (1996).
- [2] Klepikov V. F., Olemskoi A. I., Berezovsky S. V. // Металлофизика и новейшие технологии **19**, 32 (1997).
- [3] Березовский С.В., Клепиков В.Ф., Корда В.Ю. // УФЖ **42**, 889 (1997).
- [4] Berezovsky S.V., Klepikov V.F., Korda V.Yu., Shlyakhov N.A. // Int. J. Mod. Phys. **B12**, 465 (1998).
- [5] Cummins H.Z. // Phys. Rep. **185**, 211 (1990).
- [6] Толедано Ж.-К., Толедано П. *Теория Ландау фазовых переходов*. М: Мир, (1994), 461 с.
- [7] Jacobs A.F., Walkers M.B. // Phys. Rev. **B21**, 4132 (1980).
- [8] Shiba H., Ishibashi Y. // J. Phys. Soc. Jpn. **44**, 1592 (1978);
- [9] Ishibashi Y., Shiba H. // J. Phys. Soc. Jpn. **45**, 409 (1978).
- [10] Арушанян О.Б., Залеткин С.Ф. *Численное решение обыкновенных дифференциальных уравнений на Фортране*. М.: Изд-во МГУ, (1990), 336с.
- [11] Olemskoi A.I., Klepikov V.F., Koplyk I.V., Krutko O. B., Khomenko A. V. // Met. Phys. Adv. Tech. **16**, 125 (1996).
- [12] Bruce A.D., Cowley R.A. // J. Phys. **C11**, 3609 (1978).
- [13] Klepikov V.F. // Sov. Phys. – Low Temp. Phys. **17**, 1166 (1991).
- [14] Bruce A.D., Cowley R.A., Murray A.F. // J. Phys. **C11**, 3591 (1978).
- [15] Олемской А.И., Коплык И.В. // УФН **165**, 1105 (1995).
- [16] Олемской А.И., Торопов Е.А. // ФММ **74**, 5 (1991)
- [17] Overhauser A.W. // Phys. Rev. **B3**, 3173 (1971).
- [18] Косевич А.М., Ковалев А.С. *Введение в нелинейную физическую механику*. Киев: Наук. думка, (1989), 304 с.
- [19] Зельцер А.С., Соболева Т.К., Филиппов А.Э. // ЖЭТФ **108**, 356 (1995).
- [20] Филиппов А.Э. // ЖЭТФ **108**, 1422 (1995).
- [21] Olemskoi A.I., Khomenko A.V., Klepikov V.F. // УФЖ **41**, 756 (1996).
- [22] Olemskoi A.I., Khomenko A.V., Klepikov V.F. // УФЖ **41**, 762 (1996).